

Владислав П. Петров, Владимир А. Чернышев, Анатолий Е. Никифоров

Уральский Федеральный университет, Екатеринбург, Россия  
lancervlad@gmail.com

Кристаллы со структурным типом хантита (простр. группа  $R\bar{3}2$ ) представляют собой многофункциональные материалы благодаря разнообразию наблюдаемых нелинейно-оптических и лазерных свойств в купе с высокой механической стабильностью.

В рамках теории функционала плотности (DFT) проведен *ab initio* расчет кристаллической структуры, фононного спектра и упругих свойств кристаллов редкоземельных ферроборатов  $RFe_3(VO_3)_4$  ( $R = Ce, Pr, Nd, Pm, Sm, Eu, Gd, Tb, Dy, Ho, Er, Tm, Yb, Lu$ ).

Из расчета определены координаты ионов и постоянные решетки в релаксированной элементарной ячейке. Определены частоты и типы фундаментальных колебаний решетки, а также интенсивности линий ИК и КР спектров.

Исследование выполнено при финансовой поддержке РФФИ в рамках научного проекта № 16-33-00437 мол\_а

## Методы расчета

Программа CRYSTAL14

Теория функционала плотности (DFT гибридный функционал B3LYP)

Псевдопотенциал для РЗ иона, заменяющий влияние внутренних  $4f$  электронов (ECP  $mWV$  4f-in-core)

Полноэлектронные базисные наборы гауссова типа (ионы Fe, V, O)

Полная оптимизация структуры (параметр решетки + координаты ионов)

Расчет фононного спектра и упругих постоянных на предварительно оптимизированной структуре

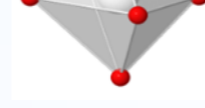
$$E_{xc}^{B3LYP} = (1-a) * (E_x^{LSDA} + b E_x^{B88}) + a E_x^{HF} + (1-c) E_c^{VWN} + c E_c^{LYP}$$

## Кристаллическая структура

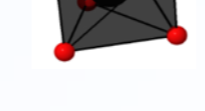
Структурообразующими единицами являются:



Спиральные цепи октаэдров Fe-O6



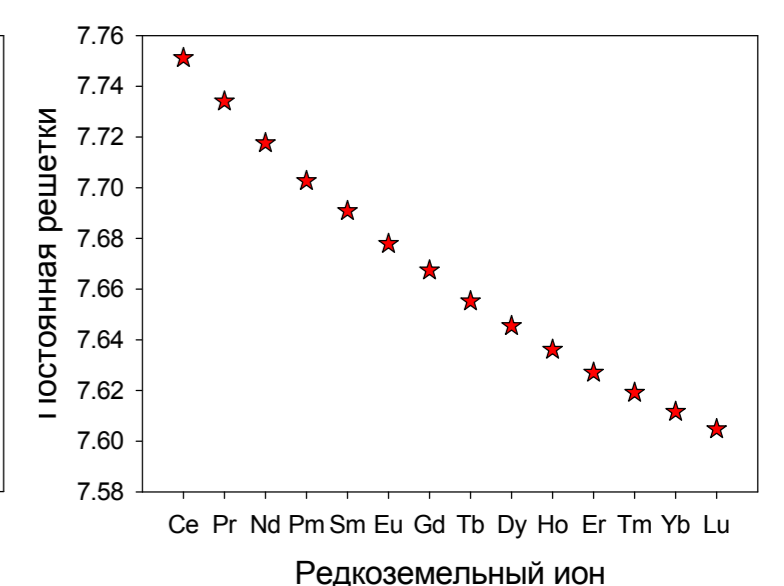
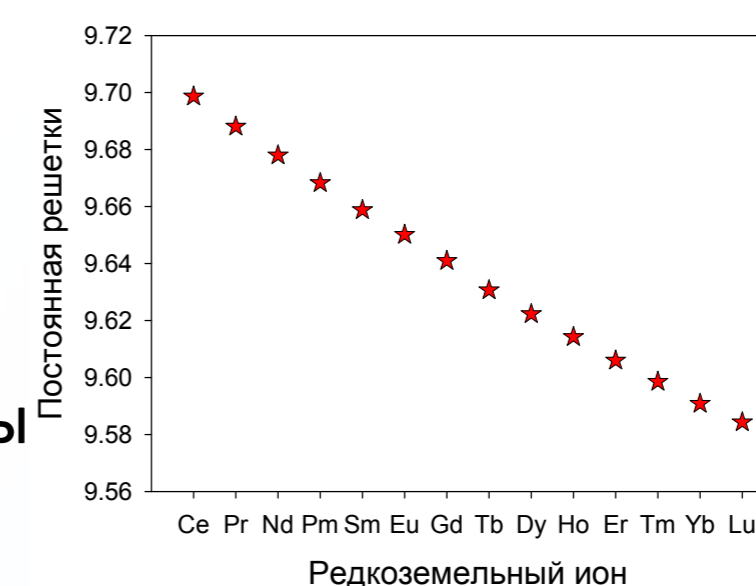
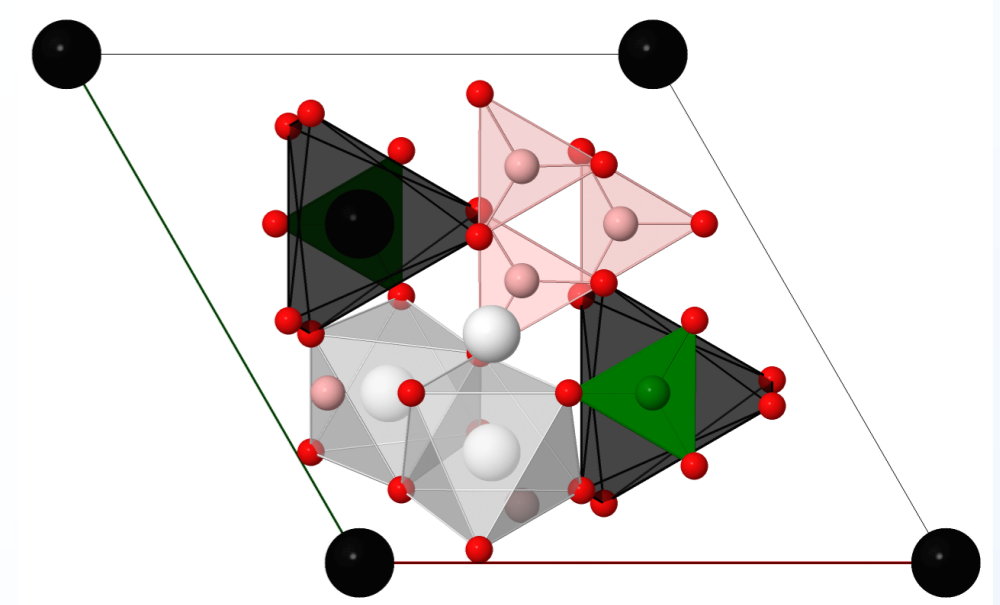
Прямые цепи призм R-O6



Равносторонние треугольники  $VO_3$  (нанизанные м/у призм)



Равнобедренные треугольники  $VO_3$ , соединяющие призмы и октаэдры



Параметры решетки ( $a$ —слева,  $c$ —справа) в Å для  $RFe_3(VO_3)_4$ ,  $R = Ce - Lu$

## Упругие постоянные

Вид матрицы (6 независимых компонент)

$$\begin{pmatrix} C_{11} & C_{12} & C_{13} & C_{14} & & \\ \cdot & C_{11} & C_{13} & -C_{14} & & \\ \cdot & \cdot & C_{33} & & & \\ \cdot & \cdot & & C_{44} & & \\ & & & & C_{44} & C_{14} \\ & & & & & C_{66} \end{pmatrix}$$

Условия механической стабильности выполняются для всего РЗ ряда

$$\begin{cases} C_{11} > |C_{12}|; C_{44} > 0 \\ C_{13}^2 < \frac{1}{2} C_{33} (C_{11} + C_{12}) \\ C_{14}^2 < \frac{1}{2} C_{44} (C_{11} - C_{12}) = C_{44} C_{66} \end{cases}$$

*Ab initio* расчет ( $R = Pr$ )

Эксперимент

$$\begin{pmatrix} 333 & 179 & 106 & -17 & & \\ \cdot & 333 & 106 & 17 & & \\ \cdot & \cdot & 198 & & & \\ \cdot & \cdot & & 59 & & \\ & & & & 59 & -17 \\ & & & & \cdot & 77 \end{pmatrix} \begin{pmatrix} 319 & 174 & 117 & |30| & & \\ \cdot & 333 & 117 & |30| & & \\ \cdot & \cdot & 214 & & & \\ \cdot & \cdot & & 49 & & \\ & & & & 49 & |30| \\ & & & & \cdot & 73 \end{pmatrix}$$

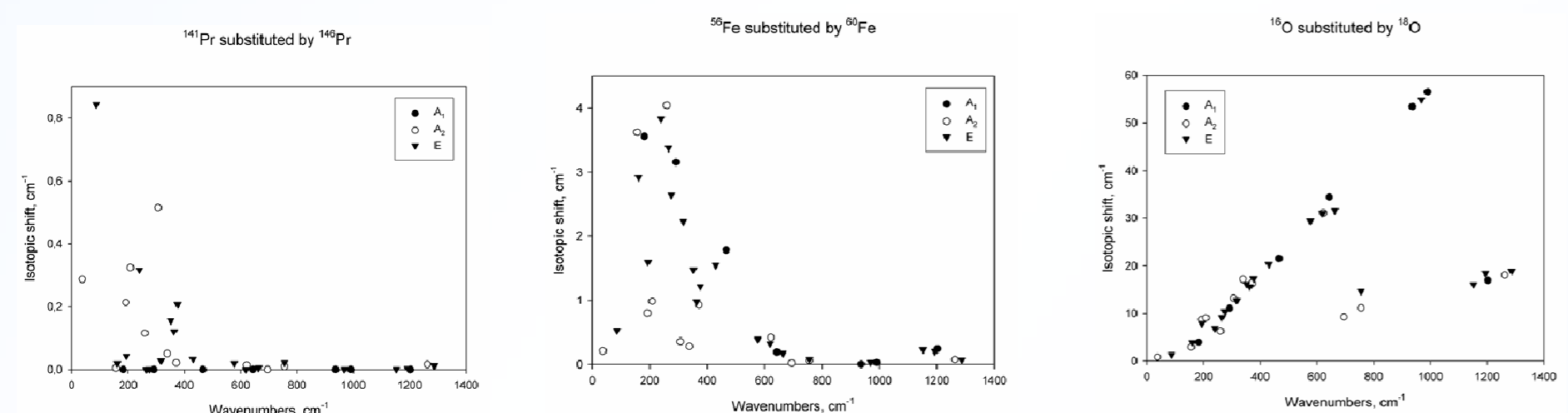
## Фононные спектры

$\Gamma = 7 A_1 \oplus 13 A_2 \oplus 20 E$  (две акустические моды— E and  $A_2$ )

Расчитан фононный спектр для всего ряда Ce – Lu, проведено отнесение колебаний. Ниже—спектр  $R = Pr$ . (в скобках интенс. ИК мод)

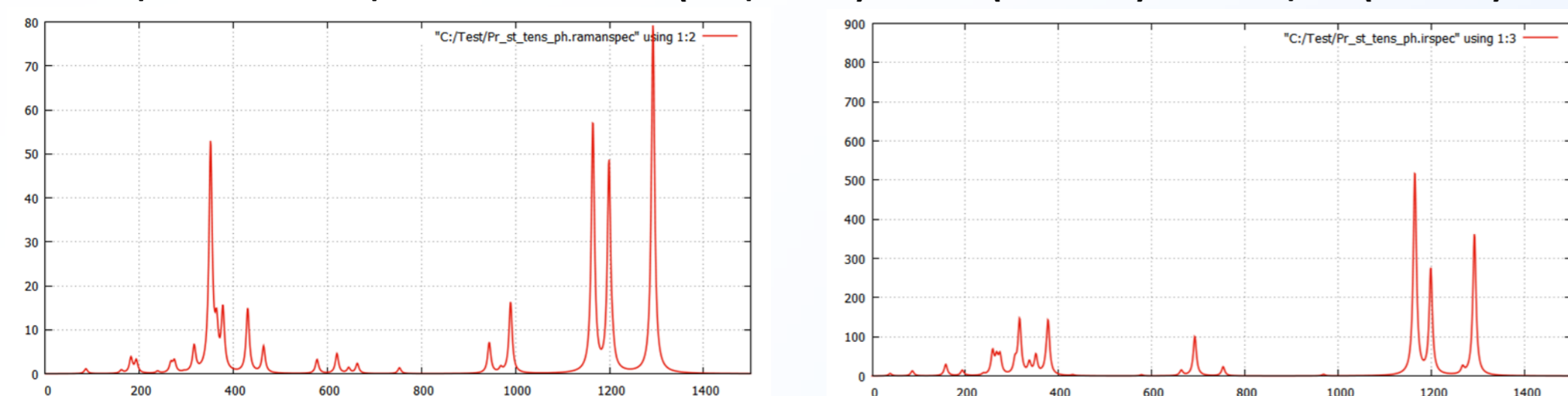
Неприводимое представление	<i>Ab initio</i> , TO	Эксп., TO	<i>Ab initio</i> , LO	Отнесение
$A_2$ (ИК)	36,9 (0.01)	50,3	53,2	$T_z(Pr)$
	156,6 (0.07)	166,1	176,4	$R(O_2-Fe-O_1)$
	191,5 (0.01)	195,0	196,4	$T_z(Pr), B(O_2-Fe-O_3)$
	208,2 (0.00)	-	208,9	$T_z(Pr), T_z(B_1), R(B_1O_3)$
	259,6 (0.12)	258,5	283,0	$T_z(B_1), R(B_1O_3)$
	306,2 (0.07)	299,3	435,9	$T_z(Pr), T_z(B_1), R(B_1O_3), R(B_2O_3)$
	338,3 (0.07)	364,7	324,1	$T_z(Pr), T_z(B_1), R(B_1O_3)$
	371,2 (0.02)	384,8	365,2	$T_z(Pr), T_z(B_1), R(B_1O_3), R(B_2O_3)$
	621,5 (0.01)	678,3	621,6	плоскостное деформ. (II)
	694,7 (0.22)	738,1	739,5	внеплоскостное деформ. (II)
	755,7 (0.04)	767,8	795,7	внеплоскостное деформ. (I)
1262,4 (0.04)	1220,6	1269,0	асимметричное валент. (II)	

Неприводимое представление	<i>Ab initio</i> , TO	Эксп., TO	<i>Ab initio</i> , LO	Отнесение
$E$ (ИК, КР)	86,5 (0.03)	85,6	94,6	$T_x, T_y(Pr)$
	160,9 (0.00)	-	160,9	$B(O_1-Fe-O_1, O_1-Fe-O_2)$
	193,6 (0.01)	192,0	195,3	$T_x, T_y(B_1), L(B_2O_3)$
	239,6 (0.01)	230,4	240,0	$T_x, T_y(Pr), L(B_1O_3), L(B_2O_3)$
	265,0 (0.1)	261,6	268,3	$L(B_1O_3), L(B_2O_3), T_x, T_y(B_1)$
	275,0 (0.09)	272,6	282,9	$L(B_1O_3), L(B_2O_3), T_x, T_y(B_1)$
	316,7 (0.31)	313,9	337,1	$T_x, T_y(Pr), T_x, T_y(B_1), L(B_1O_3), L(B_2O_3)$
	351,8 (0.09)	386,8	358,7	$T_x, T_y(Pr), T_x, T_y(B_1), L(B_1O_3)$
	363,1 (0.01)	-	363,6	$T_x, T_y(Pr), T_x, T_y(B_1), L(B_2O_3)$
	376,3 (0.31)	393,5	481,0	$T_x, T_y(Pr), T_x, T_y(B_1), L(B_1O_3), L(B_2O_3)$
	430,1 (0.01)	438,1	429,0	$T_x, T_y(Pr), T_x, T_y(B_1), L(B_1O_3), L(B_2O_3)$
	576,6 (0.01)	576,8	578,1	плоскостное деформ. (I), (II)
	618,8 (0.00)	-	618,9	плоскостное деформ. (I)
	663,5 (0.03)	666,3	667,4	плоскостное деформ. (II)
	755,8 (0.02)	732,8	757,4	внеплоскостное деформ. (II)
	968,6 (0.01)	965,2	969,1	симметричное валентное (дышащая) (II)
1152,2 (1.00)	1180,7	1172,0	асимметричное валентное (I)	
1193,5 (0.70)	1209,8	1236,9	асимметричное валентное (II)	
1287,3 (0.80)	1293,2	1401,6	асимметричное валентное (II)	



Изотопическое замещение (на примере  $PrFe_3(VO_3)_4$ )  
Диапазон внутренних колебаний (группы  $VO_3$ ) выделен красным

Промоделированные ИК (справа) и КР (слева) спектры ( $R = Pr$ )



Неприводимое представление	<i>Ab initio</i>	Эксп. (Nd)	Отнесение
$A_1$ (КР)	181,5	180	$L(B_2O_3)$
	291,4	298	$L(B_2O_3), B(O_3-Fe-O_1)$
	465,5	473	$L(B_2O_3)$
	642,7	636	плоскостное деформ. (II)
	936,3	950	дышащая мода (I)
	990,4	990	дышащая мода (II)
	1202,8	1220	асимметричное валент. (II)